

رسالة محمد



دانشگاه سیستان و بلوچستان
تحصیلات تکمیلی

پایان نامه دکتری در شیمی تجزیه

عنوان:

ساخت الکترودهای اصلاح شده بر پایه نانوتیوب کربنی و کاربرد آنها در اندازه گیریهای تجزیه ای

استاد راهنما:

پروفسور میثم نوروزی فر

استاد مشاور:

پروفسور مژگان خراسانی مطلق

تحقیق و نگارش:

رضا اکبری

(این پایان نامه از حمایت مالی معاونت پژوهشی دانشگاه سیستان و بلوچستان بهره مند شده است)

تیر ۱۳۹۰

تقدیم به

درومادر



زیباترین و پر معناترین واژه های هستی

اینجانب مراتب تشکر و سپاس ویژه را به پاس زحمات خالصانه و بی دریغ از استاد راهنمای عزیزم جناب پروفیسور میثم نوروزی فرکه علاوه بر راهنمایی علمی این پروژہ، در شرایط سخت و مشکلات، همچون برادری دلسوز و مهربان، سنگ صبورم بوده اند، ابراز می دارم.

از استاد مشاور ارجمندم سرکار خانم پروفیسور مرگمان خراسانی مطلق که در طول دوران تحصیل اینجانب در این دانشگاه همیشه مشوق و راهنمایم بوده اند، صمیمانه سپاسگزارم.

از اساتید گرامی آقایان دکتر مسعود کینجوانی، پروفیسور علیرضا رضوانی، دکتر سید حمید احمدی و دکتر علیرضا مدری عالم که زحمت دآوری این پایان نامه را متقبل شدند، کمال امتنان را دارم.

از جناب دکتر محمد انصاری فرد نمایندہ تحصیلات تکمیلی سپاسگزارم.

از خواهران و برادر عزیزم که همیشه پشتیبان روزهای سختیم بودند سپاسگزارم

آشنایی با برادر عزیزم جناب دکتر ابوذر طاهری بهترین خاطره ام در زاهدان بوده و از این بابت به خود می بالم.

از دوست و برادر بسیار عزیزم جناب حاج نوروز اکاتی و همچنین جناب حاج عزیز الله برقدان به پاس زحمات خالصانه شان صمیمانه قدر دانم.

دکتر هاشم شروس و ند عزیز، به دوستی با شما افتخار میکنم.

از جناب آقای محبتی بانادی و سرکار خانم زهرا مطبوعی که در جمع بندی مطالب و تهیه اسلاید های دفاعیه یاریم نمودند، قدر دانی می نمایم.

از همه دوستان و همکاران عزیزم آقایان و خانمهایی که ذکر نامهایشان در این صفحه کوچک نمیکند کمال سپاس را داشته و امیدوارم بتوانم گوشه ای از زحماتشان را جبران کنم.

چکیده

این کار تحقیقاتی شامل سه بخش می باشد:

در بخش اول، رفتار الکتروشیمیایی آسکوربیک اسید (AA) و اوریک اسید (UA) در سطح الکتروکد خمیر کربن اصلاح شده با نانوتیوبهای کربنی چند دیواره و کلرومرکوری فروسن (CMF) به عنوان حد واسط انتقال الکترون مورد بررسی قرار گرفت. خصوصیات و رفتار الکتروشیمیایی این الکتروکد توسط تکنیک ولتامتری چرخه ای مورد بررسی قرار گرفت. با استفاده از مطالعات ولتامتری این الکتروکد، دو پیک آندی مشخص با اختلاف پتانسیل پیک ۴۳۰ میلی ولت برای AA و UA مشاهده شد که نشان دهنده امکان اندازه گیری همزمان این دو ترکیب بوده است. پارامترهای تجزیه ای نظیر اثر pH، سرعت روبش و درصد CMF در ترکیب الکتروکد به منظور بدست آوردن مقدار بهینه مورد بررسی قرار گرفت. این روش دارای گستره خطی و حد تشخیص 10^{-4} تا $6/9 \times 10^{-6}$ مول بر لیتر و 10^{-6} تا $2/6 \times 10^{-6}$ مول بر لیتر برای AA و 10^{-4} تا $6/9 \times 10^{-6}$ مول بر لیتر و $2/4 \times 10^{-6}$ تا $7/9 \times 10^{-7}$ مول بر لیتر برای UA بوده است. این الکتروکد در شرایط بهینه برای اندازه گیری AA و UA در نمونه های بیولوژیکی با موفقیت مورد استفاده قرار گرفته است.

در بخش دوم، استفاده از یک الکتروکد کربن شیشه ای اصلاح شده با نانوتیوبهای کربنی چند دیواره و ناترولیت (نوعی از زئولیت طبیعی) آهن دار شده و چیتوسان (نوعی پلیمر طبیعی) برای اندازه گیری همزمان چهار گونه AA، UA، دوپامین (DA) و تریپتوفان (Trp) توصیف شده است. از تکنیک TEM برای تشخیص و بررسی ویژگیهای این سوسپانسیون اصلاحگر استفاده شده است. اندازه گیریها با استفاده از تکنیکهای ولتامتری چرخه ای و ولتامتری پیمایش خطی به انجام رسیده است. با استفاده از مطالعات ولتامتری، این الکتروکد چهار پیک مجزا و مشخص آندی برای AA، DA، UA و Trp به همراه افزایش شدت جریانهای پیکهای آندی مشاهده شده است. پارامترهای تجزیه ای نظیر اثر pH و درصد زئولیت آهن دار شده در ترکیب الکتروکد مورد بررسی قرار گرفته است. این روش دارای گستره خطی و حد تشخیص $833-777$ و $1/11$ میکرو مول بر لیتر برای AA، $833-735$ و $7/35$ و $1/05$ میکرو مول بر لیتر برای DA، $83/3-0/23$ و $0/033$ میکرو مول بر لیتر برای UA و $34/5-0/074$ و $0/011$ میکرو مول بر لیتر برای Trp بوده است. این الکتروکد جهت اندازه گیری همزمان AA، DA، UA و Trp در نمونه های ادرار و سرم انسانی با موفقیت مورد استفاده قرار گرفته است.

در بخش پایانی، از توانایی یونهای مس برای تشکیل کمپلکس با DNA، قابلیت DNA برای پخش و همچنین حلقه زدن به دور نانوتیوبهای کربنی و چیتوسان به عنوان یک پلیمر طبیعی برای نشان دادن سوسپانسیون حاصل در سطح الکتروکد کربن شیشه ای برای اصلاح سطح الکتروکد و ساخت یک سنسور جدید برای اندازه گیری یونهای سیانید استفاده شده است. از تکنیک TEM برای تشخیص و بررسی ویژگیهای این سوسپانسیون اصلاحگر استفاده شده است. بررسی رفتار الکتروشیمیایی با استفاده از ولتامتری چرخه ای نشاندهنده سه پیک مجزای آندی و دو پیک مجزای کاتدی در محدوده پتانسیل $1/2$ تا $0/5$ ولت بوده است. با تلفیق خصوصیات نانوتیوبهای کربنی و DNA، این الکتروکد رفتار

مناسبی برای اندازه گیری سیانید نشان داده است. غلظت سیانید با استفاده از این الکتروود به واسطه برهمکنش با یونهای مس در سطح الکتروود و به تبع آن کاهش شدت پیکهای کاتدی الکتروود اندازه گیری شده است. این روش دارای گستره خطی و حد تشخیص 10^{-4} تا $2/33 \times 10^{-6}$ مول بر لیتر و 10^{-7} تا $1/9 \times 10^{-7}$ مول بر لیتر برای یونهای سیانید بوده است. این الکتروود در شرایط بهینه با موفقیت برای اندازه گیری سیانید در فاضلابهای صنعتی مورد استفاده قرار گرفته است.

کلمات کلیدی: نانوتیوبهای کربنی، ولتامتری، الکتروود، خمیر کربن، کربن شیشه ای، کلرو مرکوری فروسن، زئولیت، ناترولیت، DNA، چیتوسان، اندازه گیری همزمان، آسکوربیک اسید، دوپامین، اوریک اسید، تریپتوفان، سیانید.

فهرست مطالب

عنوان	صفحه
فصل اول: ترکیبات بیولوژیکی: خواص و اهمیت اندازه گیری.....	۱
۱-۱- آسکوربیک اسید (AA).....	۲
۲-۱- اوریک اسید (UA).....	۴
۳-۱- تریپتوفان (TRP).....	۶
۴-۱- انتقال دهنده‌های عصبی یا انتقال دهنده های عصبی.....	۹
۱-۴-۱- دوپامین (DA).....	۱۰
۵-۱- اندازه گیری همزمان بیومولکولها.....	۱۱
فصل دوم اصلاحگرها.....	۱۳
فصل دوم: بخش اول: الکترودهای اصلاح شده شیمیایی (CMES).....	۱۴
۱-۱-۲- مقدمه ای در مورد الکترودهای اصلاح شده شیمیایی.....	۱۵
۱-۱-۲- انواع روشهای پیش تیمار (فعال سازی فیزیکی) سطح الکتروود.....	۱۷
۱-۱-۳- انواع الکترودهای اصلاح شده شیمیایی.....	۱۷
۱-۳-۱-۲- روش اصلاح لانگمویر- بلاجت.....	۱۸
۱-۳-۲-۱-۲- الکترودهای اصلاح شده بصورت تک لایه های خود انباشته (SAMS).....	۱۸
۱-۳-۳-۱-۲- الکترودهای اصلاح شده توسط فیلمهای معدنی (نظیر سیلیکاتها، خاکهای رس و زئولیتها) و همچنین ترکیبات بیولوژیکی.....	۱۸
۱-۳-۴-۱-۲- الکترودهای اصلاح شده به روش سل- ژل.....	۱۹
۱-۳-۵-۱-۲- الکترودهای خمیر کربن.....	۲۰
۱-۳-۶-۱-۲- الکترودهای اصلاح شده پلیمری.....	۲۲

فصل دوم: بخش دوم: نانوتیوبهای کربن: ساختار، خواص و کاربردها.....	۲۴
۲-۲-۱- مقدمه ای در مورد نانوتیوبهای کربن.....	۲۵
۲-۲-۲ روشهای سنتز نانوتیوبهای کربن.....	۲۸
۲-۲-۲-۱- تخلیه الکتریکی جرقه.....	۲۸
۲-۲-۲-۲- سایش لیزری (بخارسازی لیزری).....	۲۸
۲-۲-۲-۳- ترسیب بخار شیمیایی.....	۲۹
۲-۲-۳- خلاصه ای از خصوصیات و کاربردهای نانوتیوب های کربن.....	۳۰
۲-۲-۴- خصوصیات و کاربردهای الکتروشیمیایی نانوتیوبهای کربن :.....	۳۳
فصل دوم: بخش سوم: زئولیتها: خواص فیزیکی و شیمیایی و کاربردهای آنها.....	۴۰
۳-۳-۱- تاریخچه، شیمی و کاربردهای زئولیتها.....	۴۱
۳-۳-۲- کاربردهای زئولیت در شیمی تجزیه (الکتروشیمی):.....	۴۴
۳-۳-۳- الکترودهای اصلاح شده با زئولیت ها.....	۴۵
۳-۳-۳-۱- دلایل استفاده از الکترودهای اصلاحشده با زئولیت ها.....	۴۵
فصل دوم: بخش چهارم: چیتوسان: ساختار، خواص و کاربردها.....	۴۹
۳-۴-۱- چیتوسان: ساختار، خواص و کاربردها.....	۵۰
فصل سوم: بخش تجربی.....	۵۲
فصل سوم: بخش اول: اندازه گیری همزمان AA و UA با استفاده از یک الکتروود خمیر نانوتیوب کربن اصلاح شده با کلرومرکوری فروسن.....	۵۳
۳-۱-۱- مقدمه.....	۵۴
۳-۱-۲- مواد و محلولها.....	۵۴
۳-۱-۳- دستگاهها.....	۵۵

- ۵۵.....MWCNTPE/CMF ساخت الکتروود اصلاح شده ۴-۱-۳
- ۵۶.....MWCNTPE/CMF بررسی ویژگی های الکتروشیمیایی الکتروود اصلاح شده ۵-۱-۳
- ۶۰.....UA در حضور AA اندازه گیری الکتروکاتالیزوری ۶-۱-۳
- ۶۳.....UA و AA اثر pH بر روی اندازه گیری همزمان ۷-۱-۳
- ۶۳.....UA و AA اثر سرعت روبش بر روی اندازه گیری همزمان ۸-۱-۳
- ۶۵.....UA و AA اثر درصد CMF بر روش شدت جریان پیکهای آندی ۹-۱-۳
- ۶۵.....پایداری سیگنال الکتروود اصلاح شده ۱۰-۱-۳
- ۶۶.....UA و AA با استفاده از MWCNTPE/CMF در اندازه گیری همزمان افزایش همزمان غلظت AA و UA ۱۱-۱-۳
- ۶۶.....UA و رسم منحنی کالیبراسیون ۱۲-۱-۳
- ۷۱.....مطالعه اثر عوامل مزاحم ۱۳-۱-۳
- ۷۱.....کاربرد این الکتروود در نمونه‌های حقیقی ۱۴-۱-۳
- ۷۲.....نتیجه گیری ۱۵-۱-۳
- فصل سوم: بخش دوم: اندازه گیری همزمان و حساس مخلوط چهارتایی AA، DA، UA و Trp با استفاده از الکتروود GC اصلاح شده با زئولیت ناترولیت دوپه شده با یون آهن و نانوتیوب کربن چند دیواره ۱۶-۱-۳
- ۷۴.....مقدمه ۱-۲-۳
- ۷۵.....مواد و محلول های مورد استفاده در این کار تحقیقاتی ۲-۲-۳
- ۷۶.....دستگاهوری ۳-۲-۳
- ۷۶.....ساخت الکتروود اصلاح شده ۴-۲-۳
- ۷۷.....تصاویر SEM و TEM ۵-۲-۳
- ۷۹.....بررسی ویژگی های الکتروشیمیایی الکتروود اصلاح شده ۶-۲-۳
- ۸۲.....GC/MWCNT-FeNAZ-CH در سطح الکتروود Trp و UA، DA، AA اکسایش کاتالیزوری ۷-۲-۳

- ۸۵..... اثر PH بر روی اکسایش AA، DA، UA و Trp..... ۲-۳-۸
- ۸۶..... ترکیب در حد بهینه برای الکترواد اصلاح شده..... ۲-۳-۹
- ۸۷..... آنالیز آنالیتها بصورت تک در سطح الکترواد GC/MWCNT-FeNAZ-CH..... ۲-۳-۱۰
- ۸۸..... اثر سرعت روبش..... ۲-۳-۱۱
- ۹۰..... بررسی اثرات مزاحمت..... ۲-۳-۱۲
- ۹۲..... بررسی افزایش همزمان غلظت AA، DA، UA و TRP و رسم منحنی کالیبراسیون..... ۲-۳-۱۳
- ۹۵..... کاربرد الکترواد اصلاح شده GC/MWCNT-FeNAZ-CH در تجزیه نمونه‌های حقیقی..... ۲-۳-۱۴
- ۹۶..... نتیجه گیری..... ۲-۳-۱۵
- فصل سوم: بخش سوم: اندازه گیری سیانید آزاد با استفاده از الکترواد GC اصلاح شده با کمپلکس مس و DNA متصل به نانوتیوب کربن چند دیواره..... ۳-۳-۹۷
- ۹۸..... مقدمه ای در مورد سیانید..... ۳-۳-۱
- ۹۸..... خصوصیات فیزیکوشیمیایی سیانید..... ۳-۳-۲
- ۹۹..... سیانید در صنعت..... ۳-۳-۳
- ۹۹..... رها سازی سیانید در محیط: خطرات و مکانیسم‌های بیولوژیکی سمیت..... ۳-۳-۴
- ۱۰۱..... روش‌های اندازه گیری غلظت سیانید..... ۳-۳-۵
- ۱۰۱..... روش‌های کلاسیک..... ۳-۳-۵-۱
- ۱۰۱..... روش‌های دستگاهی..... ۳-۳-۵-۲
- ۱۰۲..... DNA: بیومولکولی برای پخش و پیچیدن به دور MWCNTs..... ۳-۳-۶
- ۱۰۶..... روش پیشنهادی..... ۳-۳-۷
- ۱۰۷..... مواد و معرف ها..... ۳-۳-۸
- ۱۰۷..... دستگاهها..... ۳-۳-۹

- ۱۰۷.....GC/MWCNT-DNACu-CH روش ساخت الکتروود ۱۰-۳-۳
- ۱۰۸.....TEM تصاویر ۱۱-۳-۳
- ۱۰۸.....بررسی ویژگی های الکتروشیمیایی الکتروود اصلاح شده ۱۱-۳-۳
- ۱۰۹.....رفتار الکتروشیمیایی یونهای سیانید در سطح الکتروود ۱۲-۳-۳
- ۱۱۲.....تأثیر pH محلول بافر در اندازه گیری سیانید ۱۳-۳-۳
- ۱۱۹.....منحنی کالیبراسیون، محدوده خطی و حد تشخیص روش ۱۴-۳-۳
- ۱۲۲.....مطالعه اثر مزاحمت ها ۱۵-۳-۳
- ۱۲۲.....بررسی تکرار پذیری و پایداری الکتروود اصلاح شده ۱۶-۳-۳
- ۱۷-۳-۳- بررسی میزان کارایی روش پیشنهادی در اندازه گیری سیانید در نمونه های حقیقی و اندازه گیری درصد بازیابی ۱۲۳.....
- ۱۲۴.....نتیجه گیری ۱۸-۳-۳
- ۱۲۶.....مراجع

فهرست شکلها

عنوان	صفحه
شکل ۱-۱. آسکوریبک اسید و اکسایش الکتروشیمیایی آن.....	۲
شکل ۱-۲. تشکیل اوریک اسید از نوکلئوزیدهای پورین از طریق بازهای پورینی نظیر زانتین، هیپوزانتین و گوانین.....	۵
شکل ۱-۳. اکسیداسیون اوریک اسید و تبدیل آن به اسیداوریک ۴و۵- دی ال.....	۶
شکل ۱-۴. متابولیسم تریپتوفان به سروتونین و ملاتونین و نیاسین.....	۸
شکل ۱-۵. تریپتوفان و اکسایش الکتروشیمیایی آن.....	۸
شکل ۱-۶. رهاسازی نروترانسمیترها در شکاف سیناپسی.....	۹
شکل ۱-۷. مسیر سنتز دوپامین.....	۱۰
شکل ۱-۸. اکسیداسیون الکتروشیمیایی دوپامین.....	۱۲
شکل ۲-۱. شمای ساده ای از الکتروود اصلاح شده. فیلم (یا adlayer) جهت افزایش عملکرد و یا اعمال عملکرد خاص به سطح الکتروودهای مرسوم متصل می شود.....	۱۶
شکل ۲-۲. ساختار شبیه باکی بال فولرن.....	۲۵
شکل ۲-۳. نانوتیوبهای کربن تک دیواره و چند دیواره.....	۲۶
شکل ۲-۴. نانوتیوبهای کربن به شکلهای صندلی، زیگزاگ و کایرال.....	۲۷
شکل ۲-۵. شمای ساده ای از فرایند رسوب بخار شیمیایی در سنتز نانوتیوبهای کربن.....	۲۹
شکل ۲-۶. انعطاف پذیری نانوتیوبهای کربن.....	۳۱
شکل ۲-۷. ساختار چیتوسان.....	۵۰
شکل ۳-۱. ولتاموگرامهای چرخه ای MCNTPE/CMF در PBS ۱، مولار (pH=۴/۰) در سرعتهای روبش مختلف.....	۵۷

شکل ۳-۲. نمودار شدت جریانهای پیکهای آندی و کاتدی حاصل از MCNTPE/CMF نسبت به سرعت روبش ۵۸

شکل ۳-۳. ولتاموگرامهای چرخه ای محلول ۰/۰۰۱ مولار CMF در حلال DMF در سطح الکتروود GC در سرعتهای روبش مختلف ۵۹

شکل ۳-۴. ولتاموگرامهای چرخه ای در سطح MCNTPE در (a) غیاب، (b) حضور و در سطح MCNTPE/CMF در (c) غیاب، (d) حضور ۵-۴/۰×۱۰ مولار AA در PBS ۱/۱. مولار (pH=۴/۰) و سرعت روبش ۱۰۰ میلی ولت بر ثانیه ۶۱

شکل ۳-۵. ولتاموگرامهای چرخه ای ۵-۴/۰×۱۰ مولار UA در سطح (a) MCNTPE و (b) MCNTPE/CMF در PBS ۱/۱. مولار (pH=۴/۰) و سرعت روبش ۱۰۰ میلی ولت بر ثانیه ۶۱

شکل ۳-۶. ولتاموگرامهای چرخه ای ۵-۴/۰×۱۰ مولار AA و UA در سطح (a) MCNTPE و (b) MCNTPE/CMF در PBS ۱/۱. مولار (pH=۴/۰) و سرعت روبش ۱۰۰ میلی ولت بر ثانیه ۶۲

شکل ۳-۷. ولتاموگرامهای چرخه ای ۵-۴/۰×۱۰ مولار AA و UA در سطح (a) MCNTPE و (b) MCNTPE/CMF در PBS ۱/۱. مولار با مقادیر pH مختلف در سرعت روبش ۱۰۰ میلی ولت بر ثانیه ۶۴

شکل ۳-۸. ولتاموگرامهای چرخه ای MCNTPE/CMF (a) بدون AA و UA در سرعت روبش ۱۰۰ میلی ولت بر ثانیه و همچنین ولتاموگرامهای چرخه ای ۵-۴/۰×۱۰ مولار AA و UA در PBS ۱/۱. مولار (pH=۴/۰) و سرعتهای روبش مختلف ۶۵

شکل ۳-۹. ولتاموگرامهای چرخه ای MCNTPE/CMF در ۱۰ چرخه متوالی پتانسیل در PBS ۱/۱. مولار (pH=۴/۰) و سرعت روبش ۱۰۰ میلی ولت بر ثانیه ۶۶

شکل ۳-۱۰. ولتاموگرامهای چرخه ای AA و UA در غلظتهای مختلف در شرایط بهینه در سطح MCNTPE/CMF ۶۸

شکل ۳-۱۱. نمودار شدت جریانهای پیکهای آندی ولتاموگرامهای چرخه ای موجود در شکل ۳-۱۰ بر حسب غلظتهای AA و UA ۶۹

شکل ۳-۱۲. (A) تصویر SEM زئولیت ناترولیت (B) تصویر TEM مربوط به MWCNT-FeNAZ و (C) تصویر TEM مربوط به MWCNT-FeNAZ-CH ۷۸

شکل ۳-۱۳. ولتاموگرامهای چرخه ای حاصل از الکتروود GC/MWCNT-FeNAZ-CH در محلول DCAAB (pH=۱/۰) در سرعتهای روبش مختلف ۸۱

شکل ۳-۱۴. نمودار شدت جریانهای پیکهای آندی و کاتدی حاصل از GC/MWCNT-FeNAZ-CH نسبت به سرعت روبش (داده ها از ولتاموگرامهای چرخه ای شکل ۳-۱۳ بدست آمده اند) ۸۲

شکل ۳-۱۵. ولتاموگرامهای پیمایش خطی حاصل از الکترودهای BGC، GC/MWCNT-CH، GC/MWCNT-NAZ-CH و GC/MWCNT-FeNAZ-CH در حضور ۲۶۵ میکرومولار AA، ۶۵۰ میکرومولار DA، ۵۳ میکرومولار UA و ۳۴ میکرومولار Trp در محلولهای DCAAB (pH=۱/۰) و سرعت روبش ۱۰۰ میلی ولت بر ثانیه ۸۴

شکل ۳-۱۶. نمودار مقایسه ای اثر کاتالیزوری الکترودهای GC/MWCNT-CH، GC/MWCNT-NAZ-CH و GC/MWCNT-FeNAZ-CH در آشکارسازی AA، DA، UA و Trp ۸۵

شکل ۳-۱۷. (A) ولتاموگرامهای چرخه ای حاصل از الکتروود GC/MWCNT-FeNAZ-CH در حضور AA، DA، UA و Trp در الکتروولیتها با مقادیر مختلف PH، (B) نمودار شدت جریانهای پیکهای آندی هر آنالیت نسبت به pH و (C) نمودار پتانسیلهای پیکهای آندی هر آنالیت نسبت به PH ۸۶

شکل ۳-۱۸. ولتاموگرامهای پیمایش خطی ۸۳ میکرومولار AA، ۱۸۰ میکرومولار DA، ۲۵ میکرومولار UA و ۱۲ میکرومولار Trp به تنهایی و همچنین مخلوطی از چهار آنالیت با استفاده از الکتروود GC/MWCNT-FeNAZ-CH در محلولهای DCAAB (PH=۱/۰) و سرعت روبش ۱۰۰ میلی ولت بر ثانیه ۸۷

شکل ۳-۱۹. (A) ولتاموگرامهای چرخه ای حاصل از الکتروود GC/MWCNT-FeNAZ-CH در حضور ۱۷۰ میکرومولار AA، ۱۸۰ میکرومولار DA، ۱۸ میکرومولار UA و ۱۱ میکرومولار Trp در سرعتهای روبش مختلف و (B) نمودار های IP برای هر آنالیت بر حسب Y۱/۲ ۸۹

شکل ۳-۲۰. ولتاموگرامهای پیمایش خطی حاصل از الکتروود GC/MWCNT-FeNAZ-CH در حضور ۱۸۲/۳ میکرومولار DA، ۱۱/۶ میکرومولار UA و ۴/۸ میکرومولار Trp و غلظتهای متفاوتی از AA ۹۰

شکل ۳-۲۱. ولتاموگرامهای پیمایش خطی حاصل از الکتروود GC/MWCNT-FeNAZ-CH در حضور ۸۵/۸ میکرومولار AA، ۸/۵ میکرومولار UA و ۸/۵ میکرومولار Trp و غلظتهای متفاوتی از DA ۹۱

شکل ۳-۲۲. ولتاموگرامهای پیمایش خطی حاصل از الکتروود GC/MWCNT-FeNAZ-CH در حضور ۱۰۵/۴ میکرومولار AA، ۸۲/۷ میکرومولار DA و ۳/۷ میکرومولار Trp و غلظتهای متفاوتی از UA ۹۱

شکل ۳-۲۳. ولتاموگرامهای پیمایش خطی حاصل از الکتروود GC/MWCNT-FeNAZ-CH در حضور ۱۶/۰ میکرومولار AA، ۳۸/۷ میکرومولار DA و ۴/۰ میکرومولار UA و غلظتهای متفاوتی از Trp ۹۲

شکل ۳-۲۴. ولتاموگرامهای پیمایش خطی حاصل از الکتروود GC/MWCNT-FeNAZ-CH در حضور مخلوطی از AA، DA، UA و TRP در محلول DCAAB (pH=۱/۰) و سرعت روبش ۱۰۰ میلی ولت بر ثانیه ۹۳

شکل ۳-۲۵. نمودار شدت جریانهای پیکهای آندی AA، DA، UA و TRP نسبت به غلظت چهار آنالیت ۹۴

شکل ۳-۲۶. ساختار ماریپیچ دوتایی DNA؛ (B) و (C) پیوندهای هیدروژنی میان جفت بازها در ساختار DNA ۱۰۴

شکل ۳-۲۷. توصیف شماتیک مولکولهای DNA پیچیده شده به دور نانوتیوبها ۱۰۵

شکل ۳-۲۸. تصاویر TEM مربوط به اصلاحگرهای (A) MWCNT-CH؛ (B) و (C) MWCNT-DNACu-CH ۱۰۸

شکل ۳-۲۹. ولتاموگرامهای چرخه ای حاصل از الکتروود GC/MWCNT-DNACu-CH در BBS (pH=۱۲/۰) در سرعتهای روبش مختلف؛ (B) و (C) نمودارهای شدت جریانهای پیک بر حسب سرعت های روبش ۱۰۹

شکل ۳-۳۰. ولتاموگرامهای چرخه ای حاصل از الکتروود GC/MWCNT-DNACu-CH در غیاب (آبی تیره) و حضور (آبی روشن) ۲۶/۲ میکرومولار سیانید ۱۱۰

شکل ۳-۳۱. ولتاموگرامهای چرخه ای حاصل از الکتروود GC/MWCNT-DNACu-CH در حضور غلظتهای مختلف از سیانید در (A) BBS (pH=۶/۰)؛ (B) BBS (pH=۸/۰)؛ (C) BBS (pH=۱۰/۰) و (D) CBS (pH=۶/۰). منحنی های کالیبراسیون مربوط به هر ولتاموگرام در شکلها نشان داده شده اند ۱۱۳

شکل ۳-۳۲. ولتاموگرامهای چرخه ای حاصل از الکتروود GC/MWCNT-DNACU-CH در حضور غلظتهای مختلف از سیانید در CBS (A) (pH=۸/۰)؛ CBS (B) (pH=۱۰/۰) و CBS (C) (pH=۱۲/۰)..... ۱۱۴

شکل ۳-۳۳. ولتاموگرامهای چرخه ای حاصل از الکتروود GC/MWCNT-DNACU-CH در BBS با مقادیر مختلف pH در قبل (رنگ آبی تیره) و بعد (رنگ آلبویی) از افزودن محلول ۵-۵×۱۰^{-۵} مولار سیانید..... ۱۱۶

شکل ۳-۳۴. ولتاموگرامهای چرخه ای حاصل از الکتروود GC/MWCNT-DNACu-CH در CBS با مقادیر مختلف pH در قبل (رنگ آبی تیره) و بعد (رنگ آلبویی) از افزودن محلول ۵-۵×۱۰^{-۵} مولار سیانید..... ۱۱۷

شکل ۳-۳۵. اثر PH در اندازه گیری سیانید. CBS (◆) و BBS (▲). غلظت سیانید ۵-۵×۱۰^{-۵} مولار بوده و داده ها از شکلهای ۳-۳۳ و ۳-۳۴ گرفته شده اند..... ۱۱۹

شکل ۳-۳۶. ولتاموگرامهای چرخه ای حاصل از الکتروود GC/MWCNT-DNACu-CH در BBS (pH=۱۲/۰) و سرعت روبش ۵۰ میلی ولت بر ثانیه و در حضور غلظتهای مختلف از سیانید..... ۱۲۰

شکل ۳-۳۷. منحنی های کالیبراسیون حاصل از کاهش ارتفاع اولین (▲) و دومین (■) پیک کاتدی بر حسب غلظت سیانید..... ۱۲۱

شکل ۳-۳۸. ولتاموگرامهای چرخه ای حاصل از الکتروود GC/MWCNT-DNACu-CH در BBS (pH=۱۲/۰) و سرعت روبش ۵۰ میلی ولت بر ثانیه و ۸ چرخه روبش پتانسیل در حضور سیانید..... ۱۲۳

فهرست جداول

عنوان	صفحه
جدول ۱. سنسورهای بر پایه نانوتیوبهای کربن جهت آشکارسازی و اندازه گیری نروترانسمیترها.....	۳۹
جدول ۲. طبقه بندی زئولیت‌های طبیعی.....	۴۴
جدول ۳. کاربردهای الکتروتجزیه ای الکترودهای اصلاح شده با زئولیتها.....	۴۷
جدول ۴. اطلاعات الکتروشیمیایی MCNTPE/CMF.....	۵۹
جدول ۵. مقایسه بعضی از نتایج حاصل از این کار تحقیقاتی حاضر با کارهای چاپ شده دیگر در این زمینه..	۷۰
جدول ۶. بررسی مزاحمت تعدادی از ترکیبات برای غلظت $3/6 \times 10^{-5}$ مولار AA و $4/0 \times 10^{-5}$ مولار UA.....	۷۱
جدول ۷. اندازه گیری AA و UA در نمونه های سرم خون و ادرار انسانی.....	۷۲
جدول ۸. مقایسه مقادیر I_{pa} در سطح الکترودهای مختلف در محلولهای DCAAB (pH=۱/۰) حاوی	۲۶۵
میکرومولار AA، ۶۵۰ میکرومولار DA، ۶۳ میکرومولار UA و ۳۴ میکرومولار Trp.....	۸۲
جدول ۹. اثر ترکیب درصد اصلاحگر در اندازه گیری همزمان AA، DA، UA و Trp.....	۸۷
جدول ۱۰. اندازه گیری همزمان AA، DA، UA و Trp در نمونه های سرم و ادرار انسانی با استفاده از الکتروود	۹۵
اصلاح شده GC/MWCNT-FeNAZ-CH.....	۹۵
جدول ۱۱. استفاده از ترکیبات سیانید در صنایع.....	۱۰۰
جدول ۱۲. داده های آماری بدست آمده در اندازه گیری سیانید در محلولهای بافر با مقادیر pH مختلف.....	۱۱۸
جدول ۱۳. بررسی میزان مزاحمت تعدادی از یونها در آنالیز غلظت $2/5 \times 10^{-5}$ مولار سیانید.....	۱۲۲
جدول ۱۴. داده های بدست آمده از تکرارپذیری پاسخهای الکتروود.....	۱۲۳
جدول ۱۵. نتایج حاصل از تست بازیابی با استفاده از الکتروود اصلاح شده GC/MWCNT-DNACu-CH	۱۲۴

فهرست علائم

واژه	علامت اختصاری
اختلاف پیک پتانسیل	ΔE_p
اختلاف پیک جریان	ΔI_p
مساحت سطح الکتروود	A
آسکوربیک اسید	AA
اوریک اسید	UA
دوپامین	DA
تریپتوفان	Trp
نانوتیوب کربن	CNT
ولتامتری چرخه‌ای	CV
حد تشخیص	DL
ثابت فاراده	F
کروماتوگرافی مایع با عملکرد بالا	HPLC
جریان پیک آندی	I_{pa}
جریان پیک کاتدی	I_{pc}
انحراف معیار نسبی	RSD
الکتروود اشباع شده کالومل	SCE
سرعت روبش	SR
میکروسکوپ الکترونی روبشی	SEM
نانوتیوب کربن تک دیواره	SWCNT
نانوتیوب کربن چند دیواره	MWCNT
میکروسکوپ الکترونی عبوری	TEM

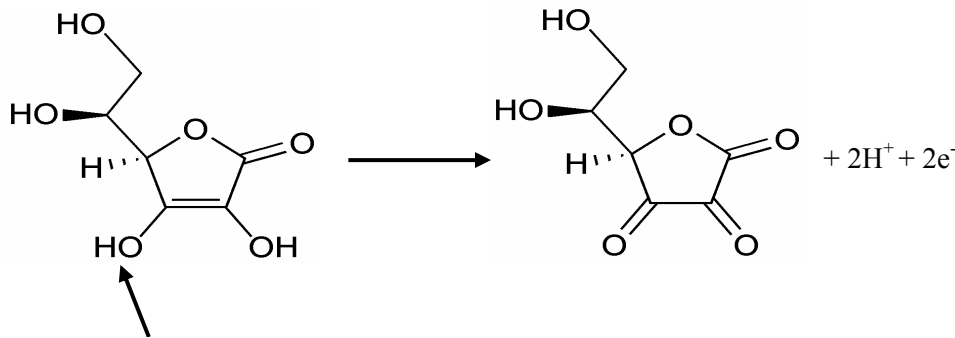
فصل اول

ترکیبات بیولوژیکی: خواص و اهمیت

اندازه گیری

۱-۱- آسکوربیک اسید (AA)^۱

آسکوربیک اسید (AA) یا ویتامین C یک ترکیب آلی طبیعی با خصوصیات آنتی اکسیدانی است. AA نمکی سفید است که نمونه‌های ناخالص آن به زردی می‌گراید. این ترکیب بخوبی در آب حل می‌شود و تشکیل محیط اسیدی ملایم می‌دهد. AA یک شکل یا ویتامر^۲ ویتامین C است. نام AA برگرفته از *a* (بمعنی نه) و *scorbutus* بمعنی اسکوروی^۳ است؛ بیماری که در اثر کمبود ویتامین C به وجود می‌آید. AA یک احیا کننده ملایم است. از این رو، قرار گرفتن در معرض اکسیژن به ویژه در حضور یونهای فلزی و همچنین تابش، باعث تخریب آن می‌شود. نقش متابولیکی AA با اکسایش دو الکترونی آن به حالتی پایدار تحت عنوان دهیدروآسکوربیک اسید در حالت تعادل با همی استال هیدراته شده در ارتباط است [۱]. این سیستم توانایی انتقال الکترون و هیدروژن را در فرایندهای برگشت پذیر داشته و نقش مهمی در تنفس بافت و بسیاری از فرایندهای متابولیکی دیگر ایفا می‌کند [۲].



This proton dissociates with $pK_a = 4.2$

شکل ۱-۱. آسکوربیک اسید و اکسایش الکتروشیمیایی آن

آسکوربات به عنوان آنیون حاصل از AA معمولاً نقش آنتی اکسیدانی دارد. به عنوان نمونه این ترکیب با آنتی اکسیدانهای حاوی گونه‌های دارای اکسیژن واکنش پذیر مانند رادیکالهای هیدروکسیل تشکیل شده از هیدروژن پروکسید واکنش می‌دهد و این رادیکالها تخریب کننده در سطح مولکولی بافتهای جانوری و گیاهی به واسطه برهمکنش آنها با نوکلئیک اسیدها، پروتئینها و لیپیدها (پروکسیداسیون) است که منجر به افزایش نفوذپذیری غشاء و تجزیه سلول می‌گردد. این رادیکالها در بعضی مواقع آغازگر واکنشهای زنجیری هستند

¹ Ascorbic acid

² Vitamer

³ Scurvy